

第十一讲

上节回顾

频率特性： 稳态正弦响应与输入正弦信号的复数比

$$G(j\omega) = |G(j\omega)| \angle G(j\omega)$$

$|G(j\omega)|$ ：系统的幅频特性

$\angle G(j\omega)$ ：系统的相频特性

频率特性的物理意义：

频率特性描述了在不同频率下系统传递正弦信号的能力

图示法：

- 极坐标图 (Nyquist图)
- 对数频率特性图 (伯德 (Bode) 图)

§ 5.3 频域稳定性判据

系统稳定的充要条件

全部闭环极点均具有负的实部

代数稳定判据：**Routh判据**

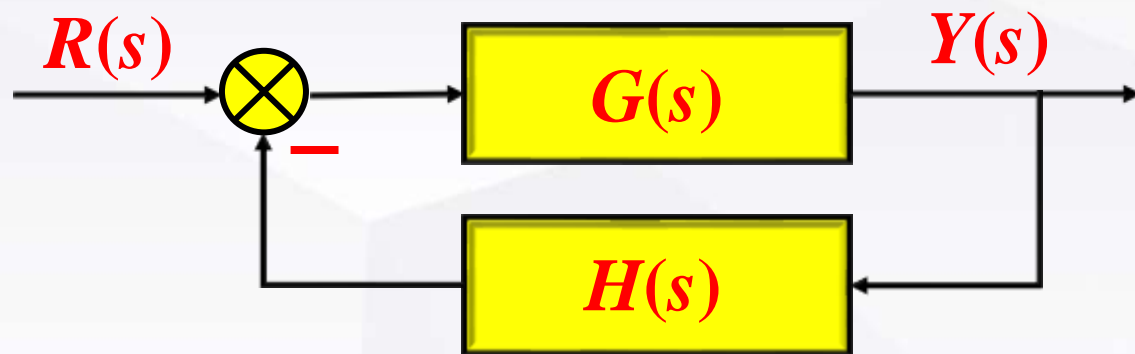
- 由闭环特征多项式系数（不解根）判定系统稳定性
- 不能用于研究如何调整系统结构来改善系统稳定性的问题

频域稳定判据 { **Nyquist 判据** **对数稳定判据**

- 由开环频率特性直接判定闭环系统的稳定性
- 可以研究包含延迟环节的系统的稳定性问题
- 可研究如何调整系统结构参数改善系统稳定性及性能问题

§ 5.3 频域稳定性判据

考虑如下反馈控制系统：



令：

$$G(s) = \frac{N_G(s)}{D_G(s)}, H(s) = \frac{N_H(s)}{D_H(s)}$$

则有：

$$1 + G(s)H(s) = \frac{N_G(s)N_H(s) + D_G(s)D_H(s)}{D_G(s)D_H(s)}$$

——→ 系统的闭环极点

——→ 系统的开环极点

§ 5.3 频域稳定性判据

映射定理（柯西围线定理）

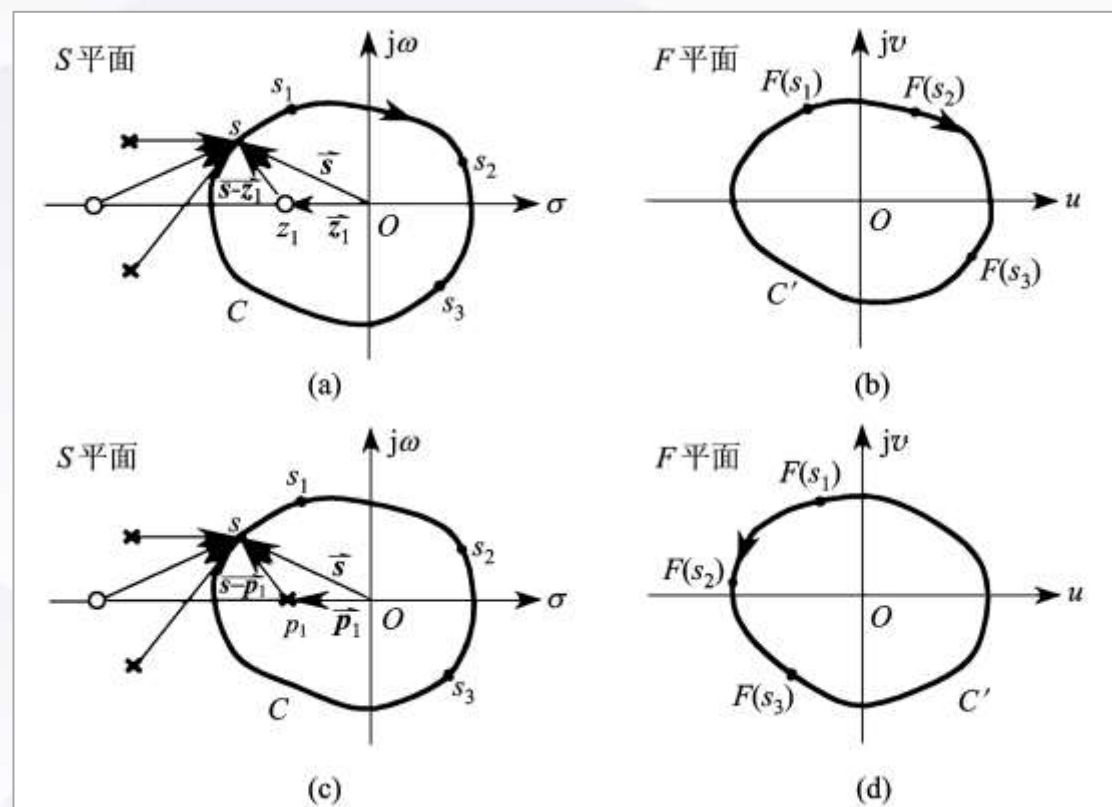
设有理函数

$$F(s) = K \frac{\prod_{i=1}^m (s - z_i)}{\prod_{j=1}^n (s - p_j)}, n \geq m$$

注：若闭曲线 C 不通过 $F(s)$ 的任一零点或极点，则 $F(s)$ 对应的曲线 C' 仍为闭曲线。

若其自变量 s 在原相平面上沿着封闭曲线 C 顺时针运动一周，结合曲线 C 内部和外部函数 $F(s)$ 零、极点分布情况，考察相平面上函数 $F(s)$ 的运动情况。

注：本节所有结论均基于沿逆时针运动为正方向之约定。



映射定理示意图

§ 5.3 频域稳定性判据

结论：

- 若封闭曲线 C 内部存在一个零点 z ，则 s 在原相平面上沿着曲线 C 顺时针运动一周， $F(s)$ 相角变化 -2π rad，即 $F(s)$ 绕原点顺时针旋转一圈；
- 若封闭曲线 C 内部存在一个极点 p ，则 s 在原相平面上沿着曲线 C 顺时针运动一周， $F(s)$ 相角变化 $+2\pi$ rad，即 $F(s)$ 绕原点逆时针旋转一圈；
- 对于分布在封闭曲线 C 外部的零、极点， s 在原相平面上沿曲线 C 顺时针运动一周， $F(s)$ 相角保持不变。

映射定理

如果在 s 平面上某一闭曲线 C 内含有 $F(s)$ 的 P 个极点和 Z 个零点且该闭曲线不通过 $F(s)$ 的任一零点或极点，当 s 沿闭曲线顺时针方向连续变化一周时，函数 $F(s)$ 沿逆时针方向绕坐标原点的周数 N 为： $N=P-Z$ 。

§ 5.3 频域稳定性判据

Nyquist判据

▪ 若系统开环传递函数在右半开复平面上有 P 个极点，且Nyquist曲线对临界点 $(-1, j0)$ 包围的圈数 N ($N>0$ 为逆时针， $N<0$ 为逆时针)，则系统闭环极点在右半开复平面的数目 Z 为：

$$Z = P - N ;$$

如果 $Z=0$ ，则系统稳定；

如果 $Z\neq 0$ ，则系统不稳定。

▪ 若对于开环稳定的系统或最小相位系统，此时 $P=0$ ，则系统稳定的充要条件是：系统的开环频率特性 $G_k(j\omega)$ 不包围临界点；

▪ 若闭环系统临界稳定，则系统开环频率特性 $G_k(j\omega)$ 通过临界点。

§ 5.3 频域稳定性判据

Nyquist判据推导*

总共分为三个步骤：

- ① 建立一个能包围整个 s 右半平面的围线，且该围线符合映射定理：
- ② 如何进行围线映射
- ③ 如何确定 $F(s)$ 相应的映射围线对原点的包围圈数 N ，并将 $F(s)$ 和系统的开环频率特性 $G_k(j\omega)$ 相关联。

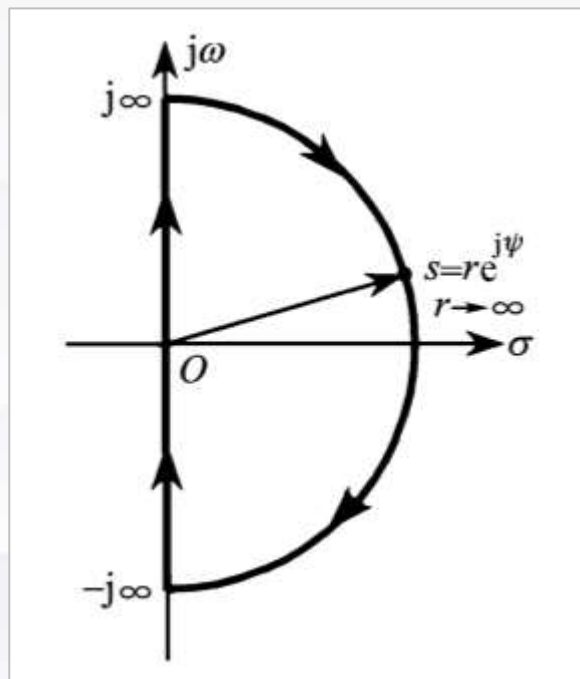
§ 5.3 频域稳定性判据

Nyquist判据推导*

令 $F(s)=1+G_k(s)$ ，则Nyquist判据推导如下：

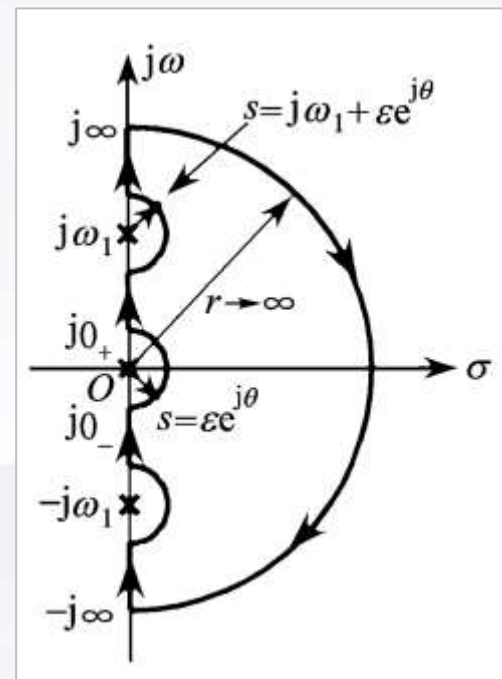
①建立一个能包围整个 s 右半平面的围线，且该围线符合映射定理：

虚轴上无开环极点



s 平面上的D型围线

虚轴上有开环极点



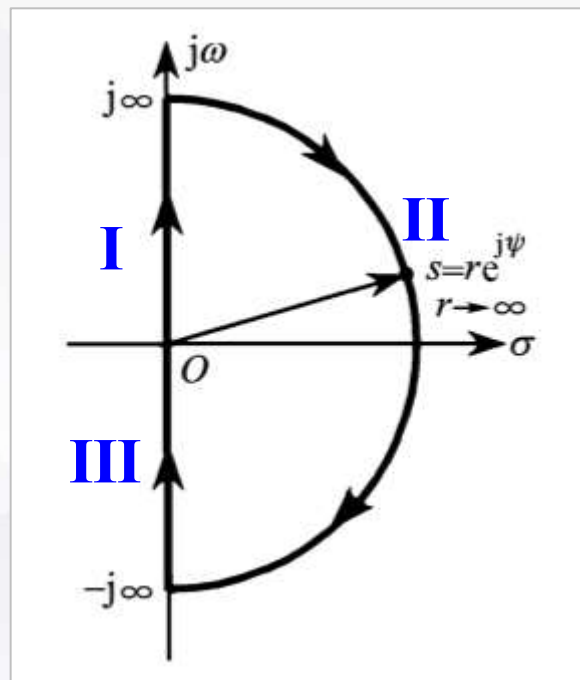
s 平面上的广义D型围线

§ 5.3 频域稳定性判据

Nyquist判据推导*

令 $F(s)=1+G_k(s)$ ，则Nyquist判据推导如下：

②围线映射



s 平面上的D型围线

I段： $s=j\omega$ ，此时相应的相函数 $F(s)|_{s=j\omega}=1+G_k(s)|_{s=j\omega}$ ；

II段： $s=re^{j\psi}$ ，注意到 $G_k(s)$ 满足分母阶次 $n>$ 分子阶次 m ，故 $r\rightarrow+\infty$ 时， $|G_k(s)|\rightarrow 0$ ；

III段： $s=-j\omega$ ，此时相应的相函数 $F(s)|_{s=-j\omega}=1+G_k(s)|_{s=-j\omega}$ ，与第I段关于实轴对称。

§ 5.3 频域稳定性判据

Nyquist判据推导*

令 $F(s)=1+G_k(s)$ ，则Nyquist判据推导如下：

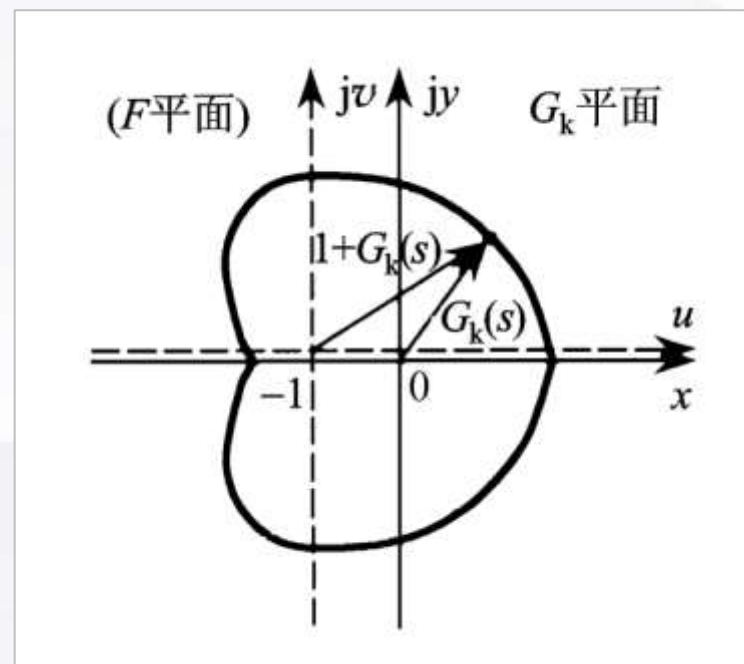
③确定 $F(s)$ 相应的映射围线对原点的包围圈数 N ，并将 $F(s)$ 和系统的开环频率特性 $G_k(j\omega)$ 相关联：

函数 $F(s)=1+G_k(s)$ 对原点的包围圈数 N 等价于：

$G_k(s)$ 对临界点 $(-1, j0)$ 的包围圈数 N ；

根据②，其又等价于：

$G_k(j\omega)$ 和 $G_k(-j\omega)$ 对临界点 $(-1, j0)$ 的包围圈数 N 。



$1+G_k(s)$ 平面和 $G_k(s)$ 平面

§ 5.3 频域稳定性判据

Nyquist判据

▪ 若系统开环传递函数在右半开复平面上有 P 个极点，且Nyquist曲线对临界点 $(-1, j0)$ 包围的圈数 N ($N>0$ 为逆时针， $N<0$ 为顺时针)，则系统闭环极点在右半开复平面的数目 Z 为：

$$Z = P - N ;$$

如果 $Z=0$ ，则系统稳定；

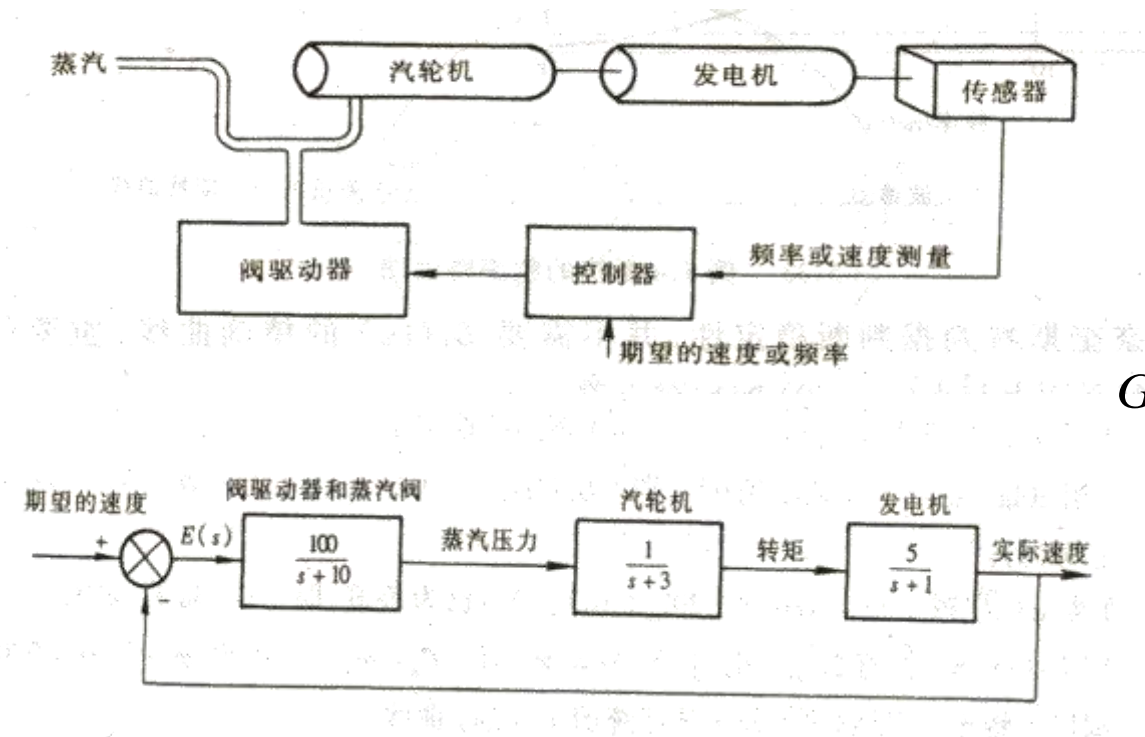
如果 $Z\neq 0$ ，则系统不稳定。

▪ 对于最小相位系统， $P=0$ ，则系统稳定的充要条件是：系统的开环频率特性 $G_k(j\omega)$ 不包围临界点；

▪ 若闭环系统临界稳定，则系统开环频率特性 $G_k(j\omega)$ 通过临界点。

◆ Nyquist稳定判据应用举例

■ 例5.4



$$G_K(s) = \frac{500}{(s+10)(s+3)(s+1)}$$

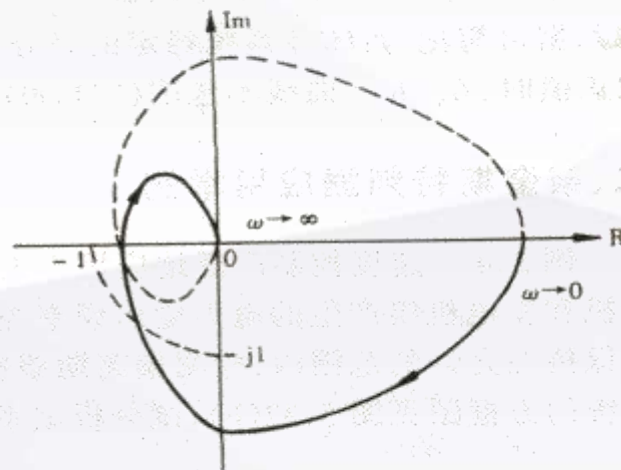
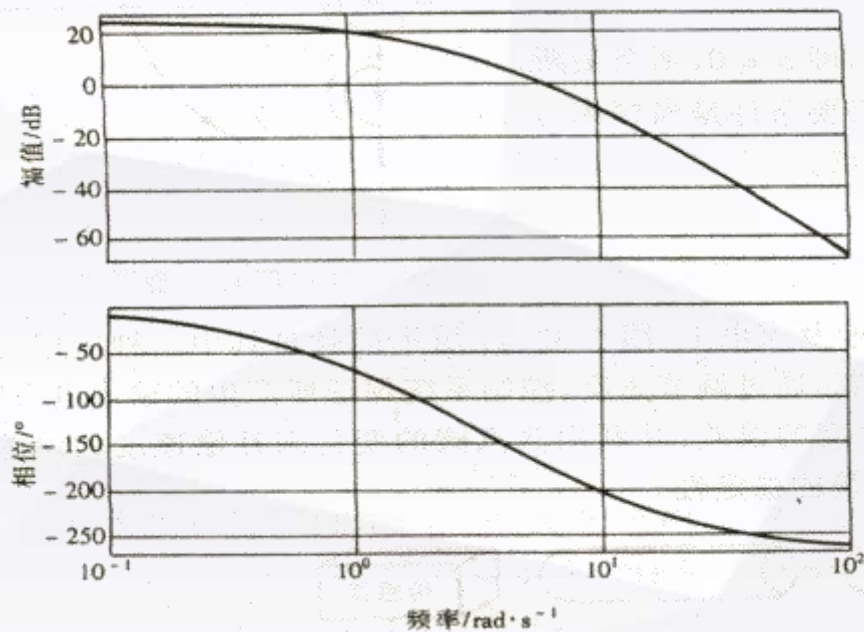
$$= \frac{\frac{50}{3}}{\left(\frac{s}{10} + 1\right)\left(\frac{s}{3} + 1\right)(s+1)}$$

§ 5.3 频域稳定性判据

Nyquist稳定判据应用举例（续1）

◆ 系统的Bode图及Nyquist曲线

$$G_K(s) = \frac{500}{(s+10)(s+3)(s+1)} = \frac{\frac{50}{3}}{\left(\frac{s}{10} + 1\right)\left(\frac{s}{3} + 1\right)(s+1)}$$

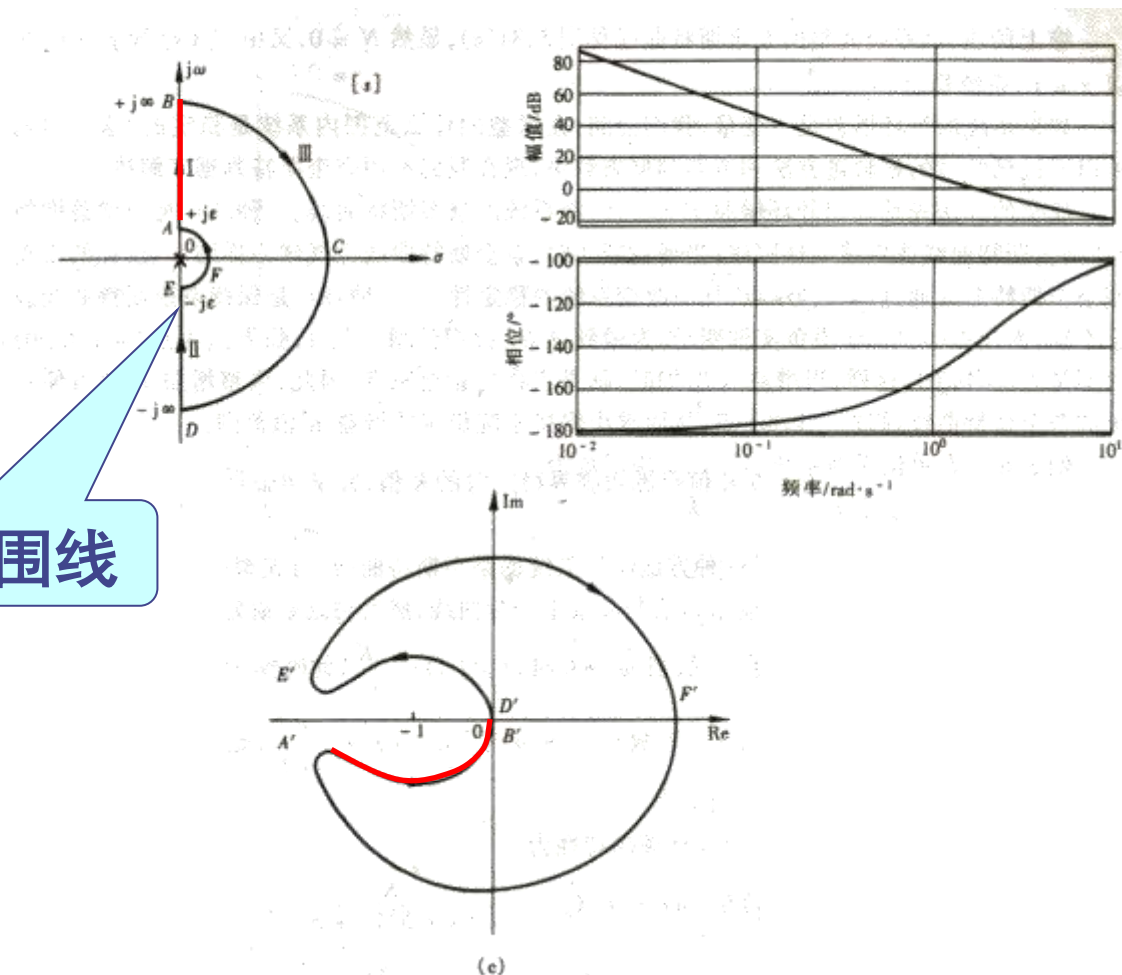


Nyquist稳定判据举例（续2）

◆ 例5.5:

$$G_K(s) = \frac{s+2}{s^2}$$

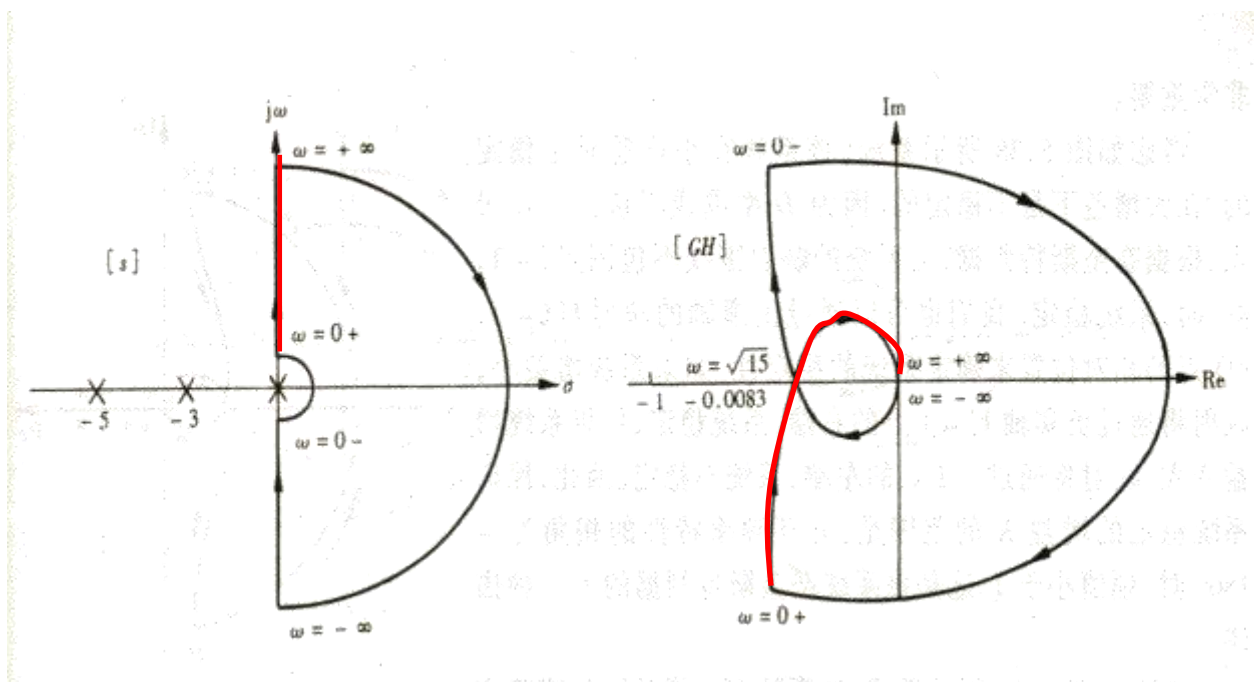
广义D型围线



Nyquist稳定判据举例（续3）

◆ 例5.6

$$G_K(s) = \frac{K}{s(s+3)(s+5)}$$



§ 5.3 频域稳定性判据

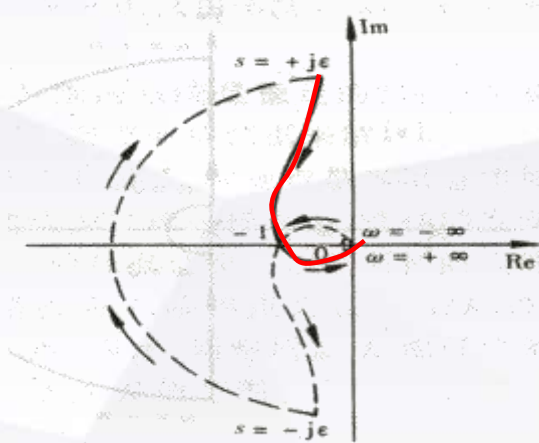
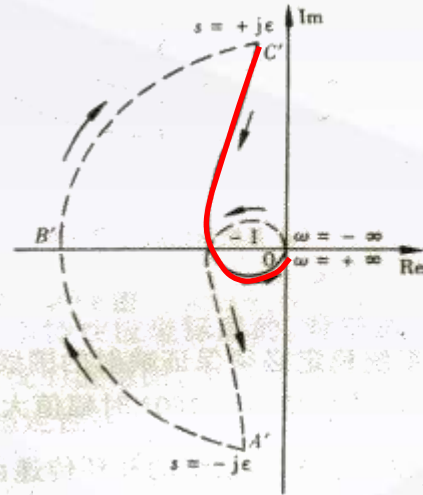
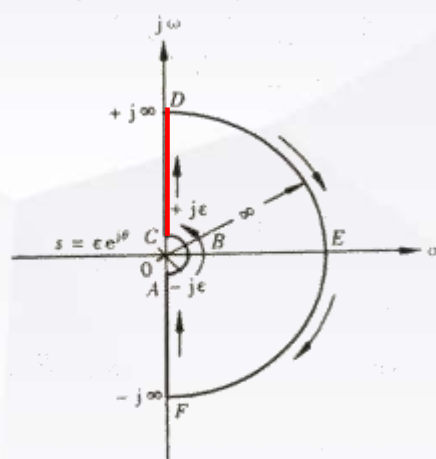
Nyquist稳定判据举例（续4）

◆ 例5.7

$$G_K(s) = \frac{-6(0.33s + 1)}{s(-s + 1)}$$

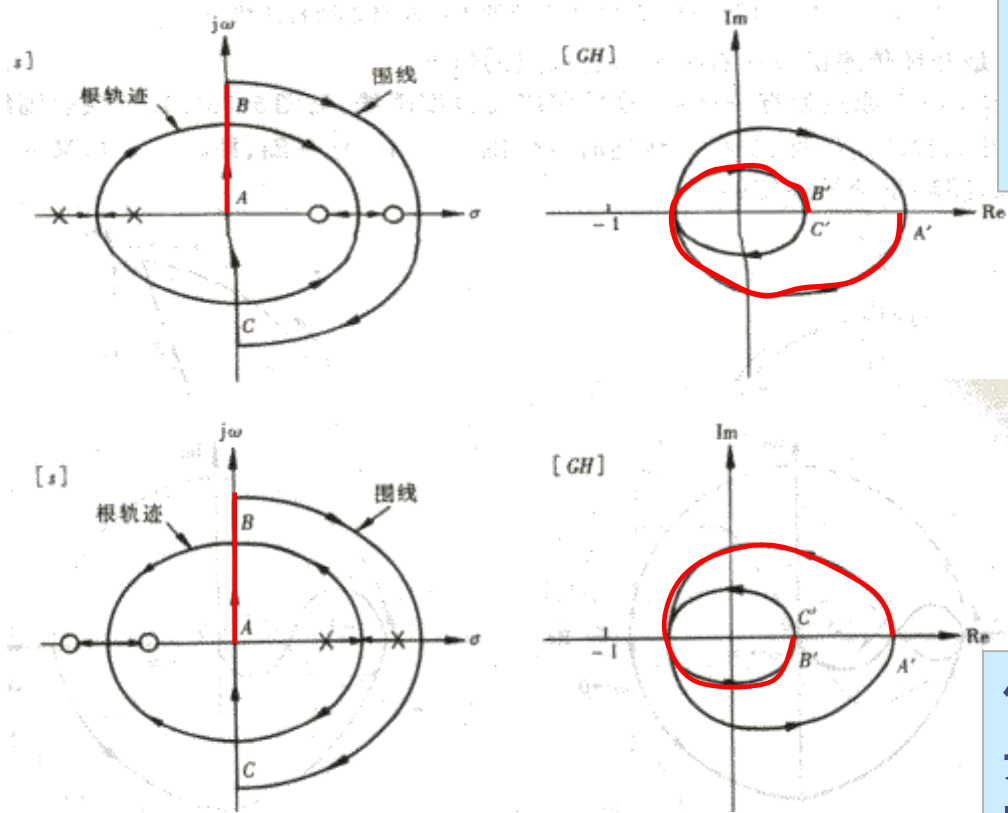


$$G_K(s) = \frac{-1.5(0.33s + 1)}{s(-s + 1)}$$



Nyquist稳定判据举例（续5）

◆ Nyquist稳定判据的另一种描述形式



保证系统稳定的增益 K 的范围是：
开环频率特性的相角为 -180° 时，
幅值小于1.

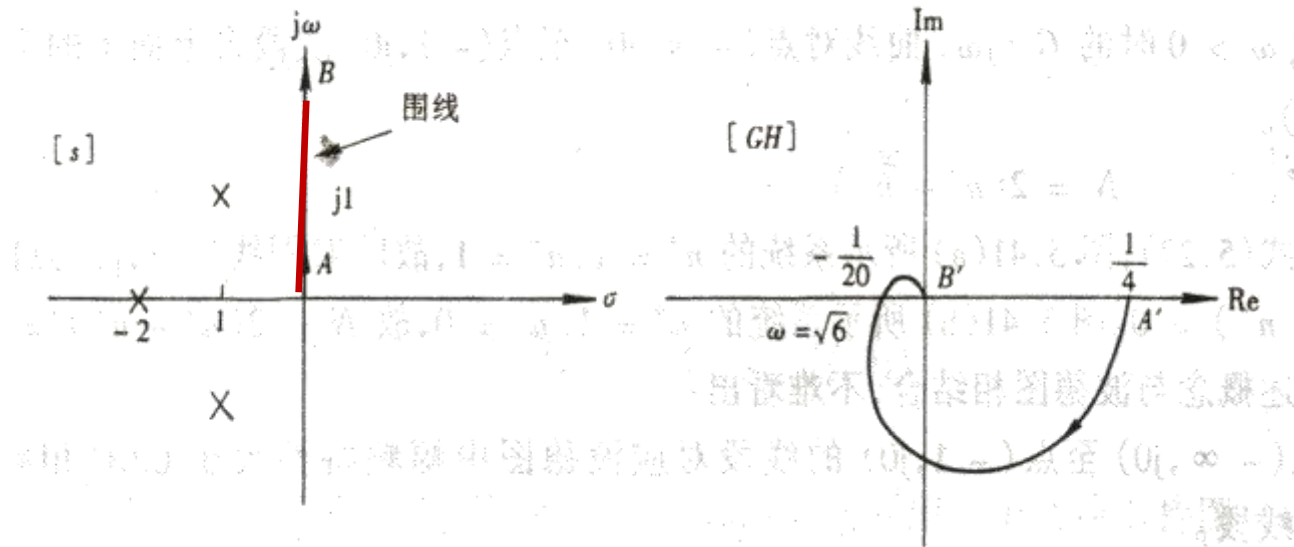
通过正虚轴的映射与 $(-1, j0)$ 点的
相对位置确定系统的稳定性.

保证系统稳定的增益 K 的范围是：
开环频率特性的相角为 -180° 时，
幅值大于1.

Nyquist稳定判据举例（续6）

◆ 例5.7

$$G_K(s) = \frac{K}{(s^2 + 2s + 2)(s + 2)}$$

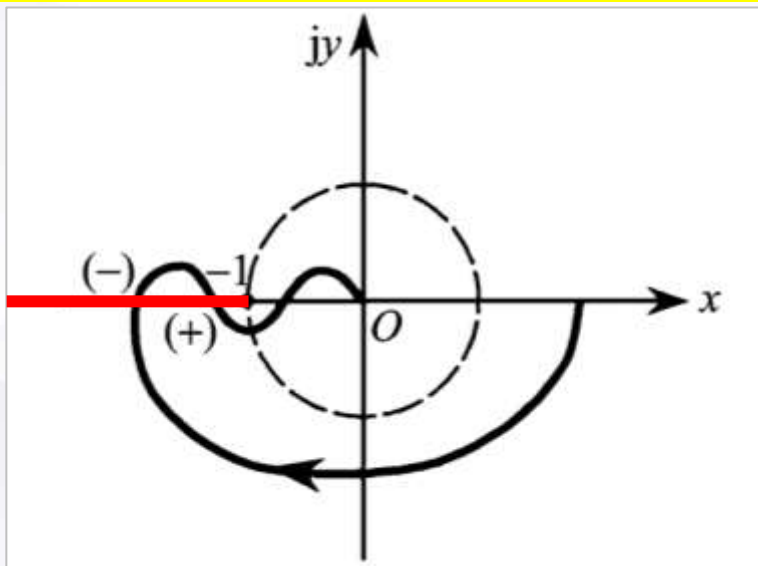


§ 5.4 Nyquist稳定判据的对数坐标图形式

穿越数与包围次数

在极坐标图上:

- N^+ 为自上而下的穿越数, 称为正穿越数, 始自负实轴 $(-\infty, -1)$ 区间向下穿越为半次正穿越。
- N^- 为自下而上的穿越数, 称为负穿越数, 始自负实轴 $(-\infty, -1)$ 区间向上穿越为半次正穿越。

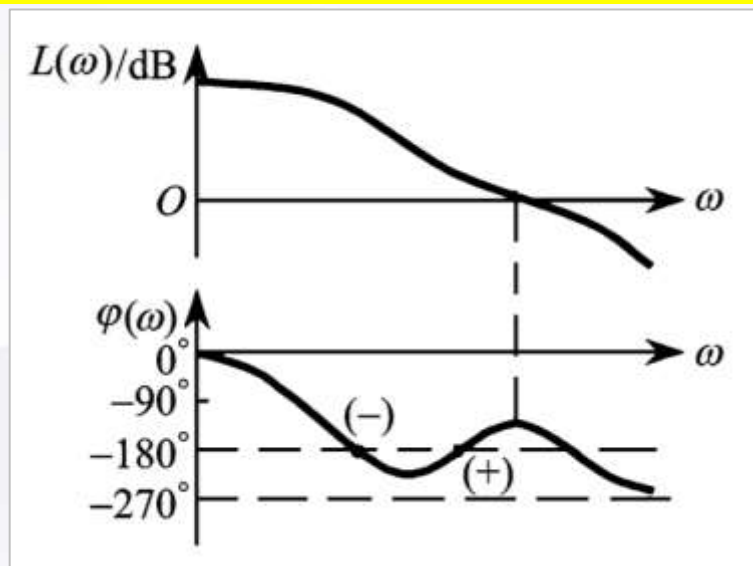


开环幅相频率特性图

两种定义
内在逻辑
保持一致:
相角增大
方向为正;
相角减小
方向为负。

在Bode图上:

- N^+ 为自下而上的穿越数, 称为正穿越数, 始自 -180° 相位线向上穿越为半次正穿越。
- N^- 为自上而下的穿越数, 称为负穿越数, 始自 -180° 相位线向下穿越为半次负穿越。



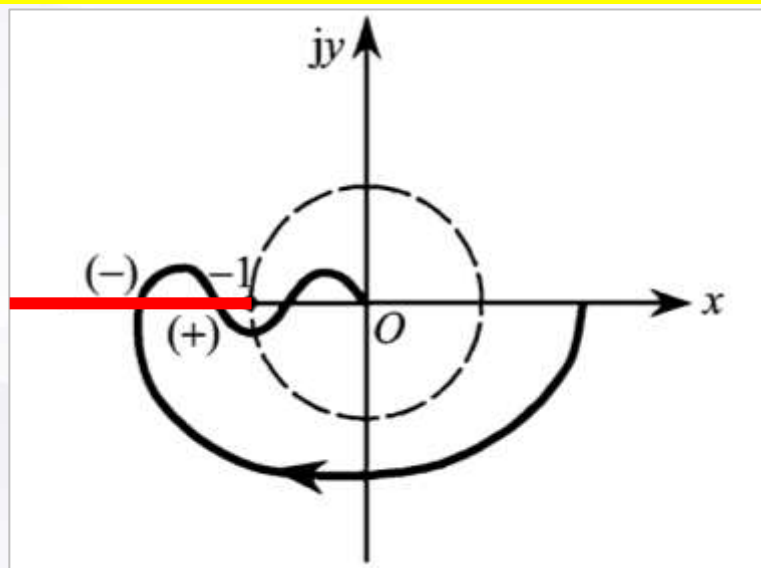
开环对数幅相频率特性图

§ 5.4 Nyquist稳定判据的对数坐标图形式

穿越数与包围次数

在极坐标图上:

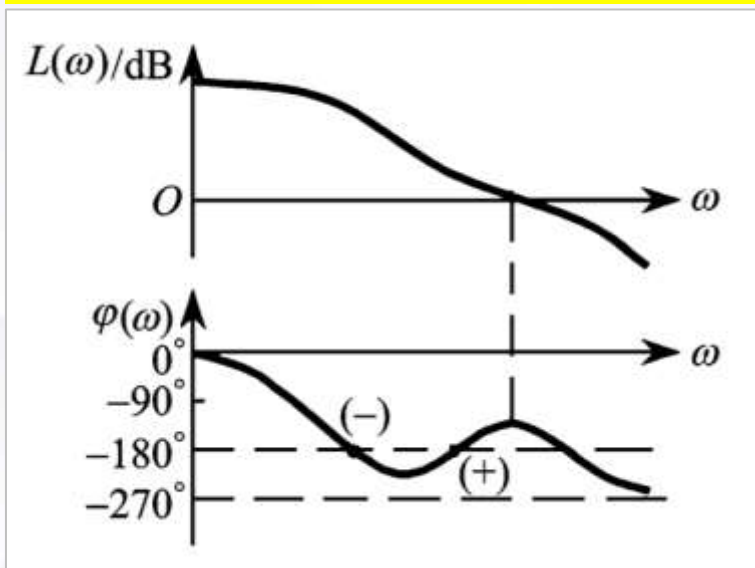
- N^+ 为自上而下的穿越数, 称为正穿越数, 始自负实轴 $(-\infty, -1)$ 区间向下穿越为半次正穿越。
- N^- 为自下而上的穿越数, 称为负穿越数, 始自负实轴 $(-\infty, -1)$ 区间向上穿越为半次正穿越。



开环幅相频率特性图

在Bode图上:

- N^+ 为自下而上的穿越数, 称为正穿越数, 始自 -180° 相位线向上穿越为半次正穿越。
- N^- 为自上而下的穿越数, 称为负穿越数, 始自 -180° 相位线向下穿越为半次负穿越。



开环对数幅相频率特性图

$\omega: 0 \rightarrow +\infty$ 时
包围次数 N_h :

$$N_h = N^+ - N^-$$

正穿越方向对应逆时针方向;
负穿越方向对应顺时针方向。

§ 5.4 Nyquist稳定判据的对数坐标图形式

基于Bode图的Nyquist判据

▪ 若系统开环传递函数在右半开复平面上有 P 个极点，其Bode图的正、负穿越数分别为 N^+ （逆时针）和 N^- （顺时针），则系统闭环极点在右半开复平面的数目 Z 为：

$$Z = P - 2(N^+ - N^-),$$

如果 $Z=0$ ，则系统稳定；

如果 $Z \neq 0$ ，则系统不稳定。

▪ 对于最小相位系统， $P=0$ ，则系统稳定的充要条件是： $N^+=N^-$ 。

注意：

- ①系统型号 $\nu \geq 1$ 时，其Bode图相位低频段需延伸以对应广义D型曲线低频段之映射；
- ②Bode图只显示频率在 $\omega: 0 \rightarrow +\infty$ 时的穿越情况， $N_h > 0$ 表示逆时针绕临界点 N_h 圈。

§ 5.4 Nyquist稳定判据的对数坐标图形式

例： 设控制系统的开环传递函数为

$$G_k(s) = \frac{K}{s^2(1+Ts)}$$

试判断闭环系统稳定性。

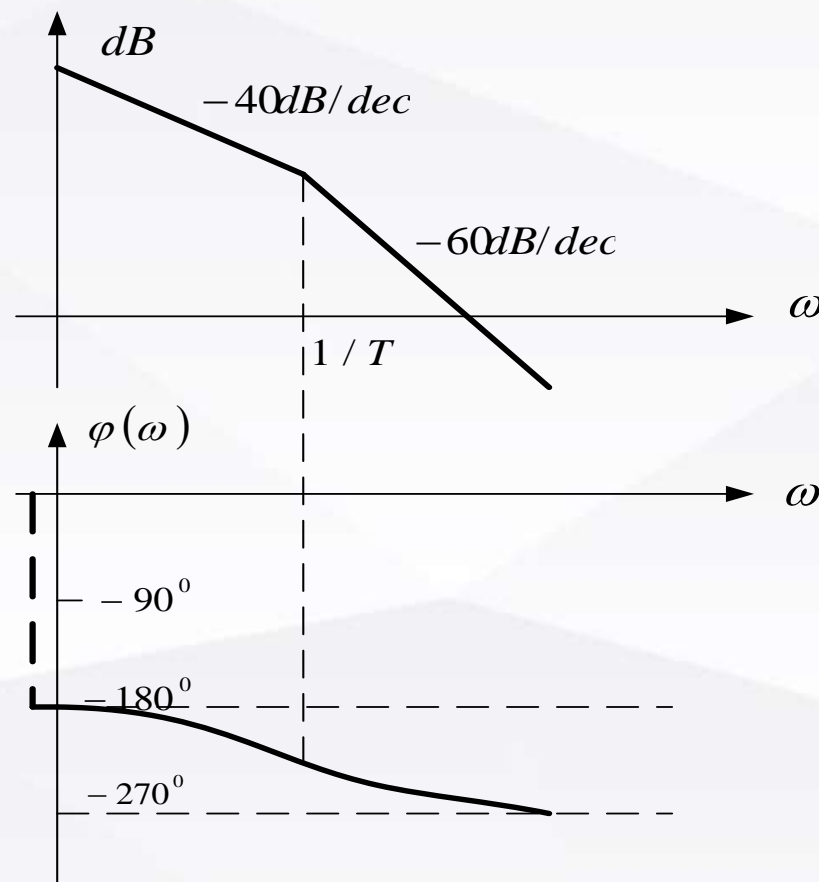
解： 绘制其Bode图，可知：

$$N^- = 1, N^+ = 0;$$

$$N_h = N^+ - N^- = -1;$$

$$Z = P - 2N_h = 2$$

由于开环系统为最小相位系统，
故闭环系统不稳定。



开环对数幅相频率特性图

§ 5.4 稳定裕度

稳定性：

绝对稳定性以及相对稳定性

设计系统时，不仅要求系统是绝对稳定的，还要保证系统有一定的稳定程度，使系统不致因参数的小范围漂移而导致系统性能变差甚至是不稳定——鲁棒性。

§ 5.4 稳定裕度

增益裕度 G_M (单位: dB)

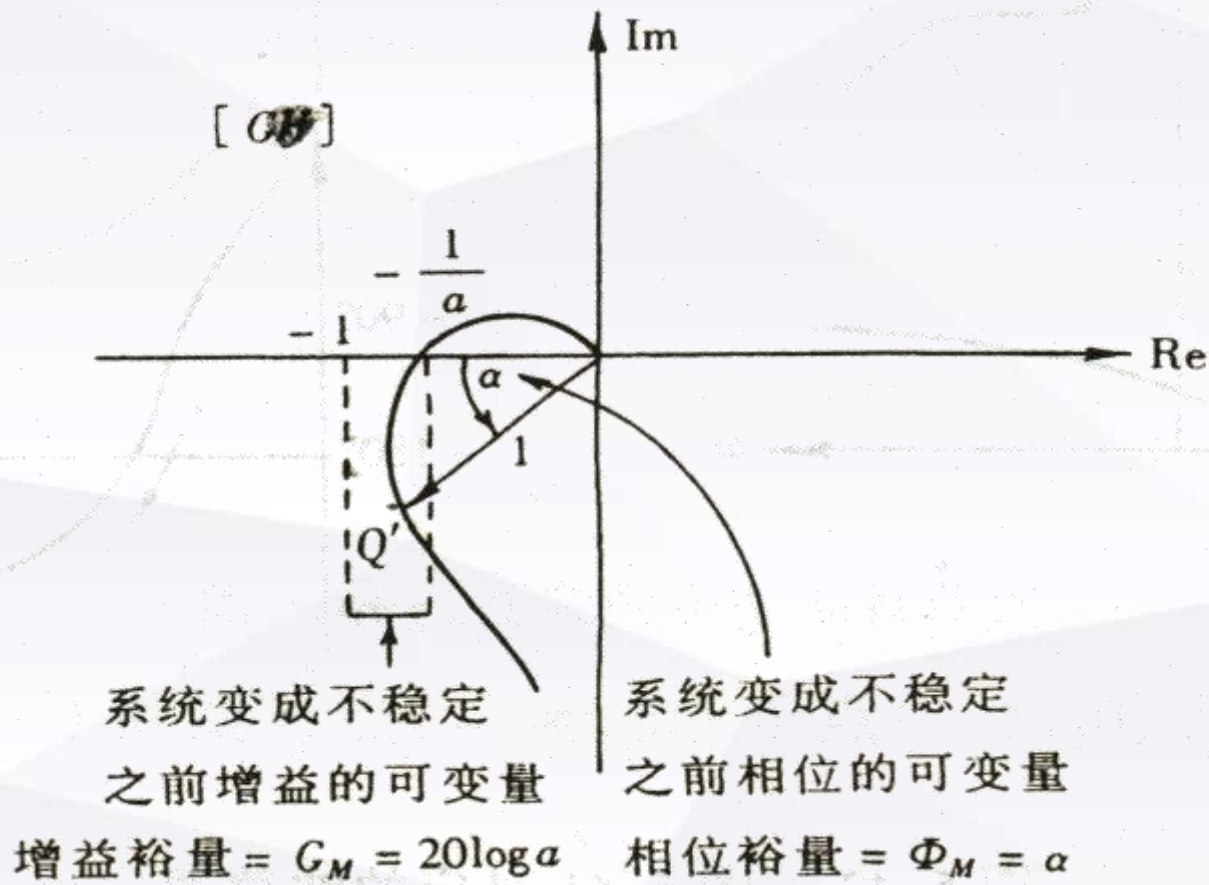
增益裕度是指衡量稳定开环系统的增益在相位为 -180° 时需要改变多大量以使得闭环系统变得不稳定

相位裕度 Φ_M (单位: 度)

相位裕度是指衡量稳定开环系统的相位在增益为1时需要改变多大量以使得闭环系统变得不稳定

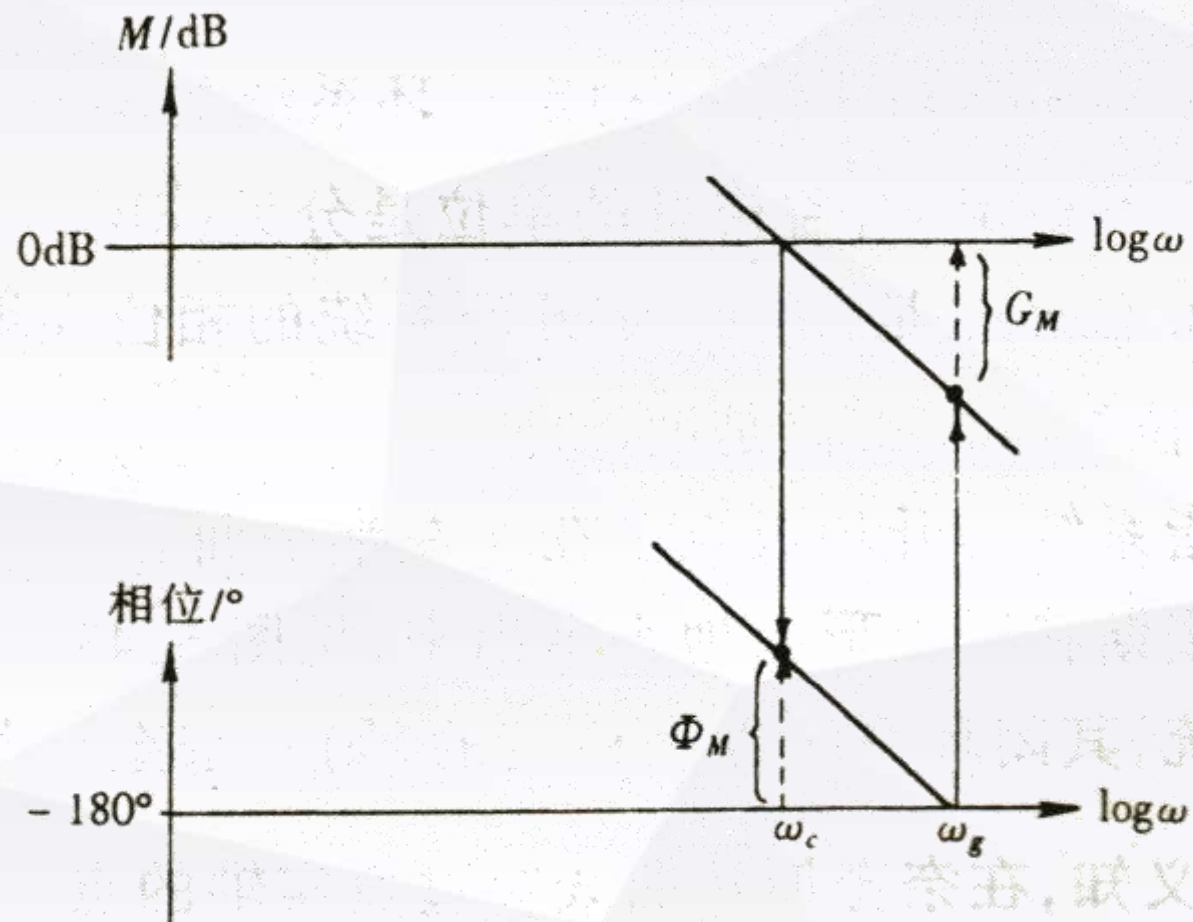
§ 5.4 稳定裕度

基于Nyquist曲线的系统相对稳定性



§ 5.4 稳定裕度

基于Bode图的系统相对稳定性



§ 5.4 稳定裕度

基于Nichols图的系统相对稳定性

